

بررسی عوامل مؤثر در انتقال رسوب در جریان غیرماندگار

سیدعلیرضا اسماعیلی (دانشجوی دکتری)

سعید گوهري (استاديار)

مجيد حيدري * (استاديار)

دانشکدهٔ کشاورزی، گروه علوم و مهندسی آب، دانشگاه بوعلی سینا، همدان

با توجه به تأثیر مهم سیلاب در تعییرات ریخت‌شناصی رودخانه، در پژوهش حاضر به بررسی تأثیر پارامترهای مختلف در انتقال بار بسته رسوبی در شرایط سیلاب ناگهانی پرداخته شده است. هیدرولگراف جریان ورودی از نوع مشتمل متناظر و زمان پایه‌ی هیدرولگراف‌ها برابر ۹ ثانیه و دبی پیشینه‌ی آنها از ۳۰ تا ۴۵ لیتر بر ثانیه در نظر گرفته شده است. جنس ذرات رسوبی از نوع کوارتز و با قطر متوسط ۲، ۱ و ۳ میلی‌متر بوده و در دو شبیه ۱۴٪ و ۰٪ آزمایش شده‌اند. نتایج پژوهش حاضر نشان داد که نقش شبیب کanal در انتقال بارک اهمیت زیادی دارد، به طوری که با افزایش ۲ برابر شبیب کف، میزان کل رسوب انتقالی به پایین دست تقریباً ۵ برابر افزایش یافته است. همچنین نتایج نشان داد که با افزایش دبی رسوب، پارامتر غیرماندگاری افزایش یافته و پارامتر اخیر نقش مؤثری در کل کار جریان داشته است.

alirezaesmaili72@gmail.com
s.gohari@basu.ac.ir
mheydari@basu.ac.ir

وازگان کلیدی: بار بسته، سیلاب ناگهانی، زمان پایه، هیدرولگراف مثلثی، پارامتر غیرماندگاری، کل کار جریان.

۱. مقدمه

به جریان وسیعی که سطح آب به صورت غیرمنتظره افزایش یافته و موجب آبگرفتگی اراضی حاشیه‌ی رودخانه و خسارت‌های مالی و جانی جبران ناپذیری ایجاد می‌کند، سیل اطلاق می‌شود. به دلیل وقوع سیلاب، فرسایش‌های عظیمی در سطح حوضه صورت می‌گیرد، که باعث مشکلات عمده‌ی از جمله: تنفسی و انباشت شدن رسوب در پایین دست رودخانه می‌شود. از این رو انتقال بار رسوبی در تعییر مورفو‌لوزی رودخانه نقش مهمی ایفا می‌کند و بر اکولوژی رودخانه تأثیر دارد.^[۱] یکی از دلایل وقوع سیلاب، توزیع غیریکنواخت زمان و مکان بازنگری است. سیلاب‌های ناگهانی به علت بازنگری‌های شدید و با زمان پایه‌ی کم صورت می‌گیرند و به صورت طغیان از سییر و کناره‌های رودخانه جاری و موانع موجود در سر راه خود را شسته یا تخریب می‌کنند. هیدرولگراف سیلاب‌های ذکر شده، نقطه‌ی اوج بالایی دارند. انتقال توده‌ی ذرات رسوبی در محیط سیال در یک بستر طبیعی با جنس رسوب‌های مشابه، انتقال رسوب نامیده می‌شود. هنگامی که سرعت برخی کمی بیشتر از سرعت بحرانی آن شود، ذرات شروع به غلطیدن و لغزش بر روی بستر می‌کنند و دائمًا با بستر در تماس هستند.^[۲] در روند انتقال رسوب در جریان غیرماندگار، عوامل متعددی تأثیرگذار هستند

* نویسنده مسئول

تاریخ: دریافت ۲۹/۳/۱۴۰۰، اصلاحیه ۱۷/۷/۱۴۰۰، پذیرش ۲۴/۷/۱۴۰۰.

DOI:10.24200/J30.2021.58434.2978

تحت تأثیر جریان غیرماندگار پرداخته‌اند.^[۳]

کیورانی و شانه‌ساززاده^{۱۴} (۲۰۱۴) در بررسی تأثیر عوامل مؤثر در انتقال بار بستر در جریان ماندگار دریافتند که بیشترین اثر، مربوط به اندازه و شکل ذرات بستر است، به طوری که در طول پرش و تا حدی در سرعت متوسط آن تأثیرگذار است.^[۱۵] مطالعات طبرستانی و زرایی^{۱۵} (۲۰۱۴) نشان داد که خصوصیات جریان از جمله توزیع سرعت و تنش برشی در زمان هیدروگراف ورودی در نزخ انتقال رسوب تأثیرگذار است. همچنین شدت جریان هیدروگراف در شاخه‌ی بالارونده از شاخه‌ی پایین رونده بیشتر است، که این افزایش ارتباط مستقیمی با نزخ بار رسوب دارد.^[۱۶] ماورین^{۱۶} و همکاران^{۱۷} (۲۰۱۶)، میزان بار بستر در شرایط سیلانی را بررسی کردند و دریافتند که دو مشخصه‌ی شکل ذرات رسوبی بسترهای سبک کانال در فرسایش بستر تأثیرگذار است.^[۱۷] یانگ^{۱۸} و همکاران^{۱۸} (۲۰۱۶)، در بررسی آزمایشگاهی انتقال رسوب بر روی بسترها ریبل^{۱۹}، مهم‌ترین مشخصه‌ی فرسایش بسترها ریبلی را سرعت جریان آب معرفی کردند.^[۱۸]

مارکوسکا^{۲۰} و همکاران^{۲۰} (۲۰۱۸) در شرایط آزمایشگاهی با کanal ۱۲ متری و با دبی‌های $۱/۳$ و $۴/۶$ لیتر بر ثانیه با تولید دو هیدروگراف متشکل با سنگ‌های گردگوش و گوشیدار، میزان انتقال بار بستر تحت جریان غیرماندگار را بررسی کردند. تزار سطح آب در آزمایش آنها ۲ تا ۱۱ سانتی‌متر و وزن رسوب‌های انتقالی بین $۴/۵$ تا $۱۴/۲$ کیلوگرم در مدت زمان ۸۰ بوده است. ایشان همچنین تأثیر میزان بارکف در تنش برشی و قدرت جریان آبراهه را بررسی کردند و دریافتند که نزخ انتقال رسوب به پارامتر غیرماندگار و فرم بستر وابسته است. همچنین میزان تنش برشی و قدرت جریان با افزایش دبی بارکف کاهش می‌یابد.^[۲۰]

ماشو^{۲۱} (۲۰۱۸)، تأثیر سیلان در انتقال رسوب در رودخانه‌های با بستر شنی را بررسی کرد. شرایط رسوبی و نوع هیدروگراف ورودی نیز در شکل الگوهای هیسترزیک تأثیر به سزاگی دارد. وی تأثیر زمان‌بندی تداوم جریان غیرماندگار بر انتقال بار بستر را با سه نوع هیدروگراف پله‌یی و مقارن شیشه‌سازی کرد و نتایج وی نشان داد که الگوی هیسترزیک بعد از اولین سیلان، سعودی است و به دلیل سپرشدگی^{۲۲} ذرات رسوبی، نزولی می‌شود.^[۲۱]

اوکلفورد^{۲۳} و همکاران^{۲۳} (۲۰۱۹)، تأثیر مدت زمان سیلان در پایداری بستر حاوی رسوب‌های غیرچسبنده را با دانه‌بندی یکسان $۴/۸$ میلی‌متر و یکنواخت رسوب بررسی کردند و ۶۰ سری آزمایش با زمان‌های ۰ تا ۹۶۰ دقیقه انجام دادند و دریافتند که میانگین تنش برشی به میزان ۱۸ ٪ افزایش یافته و همچنین تنش برشی بحرانی و میزان انتقال رسوب به صورت غیرخطی بوده است.^[۲۳]

زیوا^{۲۴} و همکاران^{۲۴} (۲۰۲۰)، در بررسی تأثیر جریان غیرماندگار برای انتقال رسوب در شرایط آزمایشگاهی به طول ۶ متر با هیدروگراف‌های طبیعی، از طریق تجزیه و تحلیل نتایج آزمایشگاهی نشان دادند که غیرماندگاری جریان، عامل تسهیل‌کننده برای حرکت رسوب‌هاست و روی رفتار بارکف در اثر افزایش زمان هیدروگراف روند کاهشی داشته و زمان نقطه‌ی اوج دبی جریان نسبت به نقطه‌ی اوج دبی رسوب زودتر نزدیک است.^[۲۵]

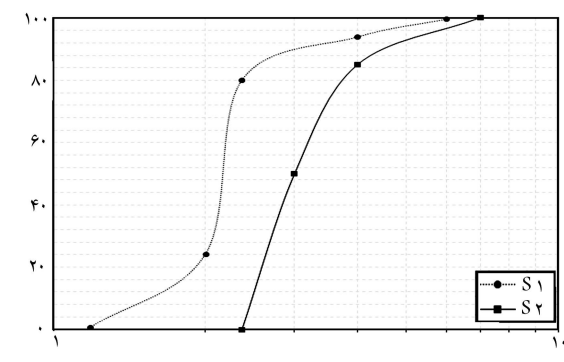
دووان^{۲۶} و همکاران^{۲۶} (۲۰۲۰)، در بررسی آزمایشگاهی انتقال رسوب‌های بار کف از نوع یکنواخت و غیریکنواخت تحت شرایط جریان غیرماندگار دریافتند که میزان انتقال رسوب برای ذرات رسوبی یکنواخت و غیریکنواخت با قطر متوسط یکسان متفاوت است. همچنین تحلیل نتایج آنها نشان داد که زمان حرکت و انتقال رسوب‌ها تحت جریان غیرماندگار نسبت به شرایط ماندگار به سهولت اتفاق می‌افتد و فاصله‌ی زمانی آستانه‌ی حرکت ذرات رسوبی در شرایط جریان غیرماندگار نسبت به شرایط جریان ماندگار بسیار طولانی است.^[۲۷]

خسروی و همکاران^{۲۸} (۲۰۱۹) انتقال بار بستر یکنواخت با دانه‌بندی‌های مختلف

گراف و سوزکا^{۲۹} (۱۹۸۵) در بررسی ارتباط انتقال رسوب تحت جریان ماندگار و غیرماندگار در کanal مستقیم در شرایط آزمایشگاهی دریافتند که میزان حجم رسوب انتقالی در شرایط جریان غیرماندگار همواره بیشتر از مقدار آن در حالت جریان ماندگار است.^[۲۹] کوهنل^{۳۰} (۱۹۹۲)، در بررسی جریان کف در دو رودخانه‌ی ماسه‌ی در ایالات متحده‌ی آمریکا مشاهده کرد که میزان بارکف در طول شاخه‌ی سعودی هیدروگراف در برابر شاخه‌ی نزولی در شرایط جریان‌های شدید افزایش یافته است.^[۳۰] در آزمایش‌های وانگ^{۳۱} و همکاران^{۳۱} (۱۹۹۴)، فاصله‌ی زمانی بین وقوع نقطه‌ی اوج سیلان و دبی اوج رسوب مشاهده شد که آن را تأخیر اینرسی کف نام‌گذاری کردند.^[۳۱] کو^{۳۲} (۲۰۰۲)، جریان غیرماندگار در کanal های روباز را بر روی بستر ثابت و متحرک در شرایط آزمایشگاهی بررسی کرد. وی جهت محاسبه‌ی دبی جریان در شرایط یکنواخت و ماندگار از پروفیل سرعت اندازه‌گیری شده استفاده کرد و سپس ۱۲ سری آزمایش جریان غیرماندگار با استفاده از هیدروگراف‌های مثالی بر روی بستر متحرک انجام داد و دریافت که پروفیل لگاریتمی سرعت برابر جریان‌های غیرماندگار با انتقال بارکف در ناحیه‌ی خطی جریان وجود دارد و حرکت بارکف با پایداری و دوام جریان کاهش می‌یابد.^[۳۲] الى^{۳۳} و همکاران^{۳۳} (۲۰۰۴)، نیز پژوهش‌های آزمایشگاهی در مورد روند انتقال بارکف تحت شرایط جریان ماندگار انجام دادند و دریافتند که تأخیر زمانی بین دبی بیشینه‌های هیدروگراف و سدیگراف رسوب (تغییرات دبی رسوب به زمان) وجود دارد، که متأثر از اندازه‌ی قطر ذرات رسوبی است.^[۳۳] وو^{۳۴} و همکاران^{۳۴} (۲۰۰۴) مدل سازی عددی یک بعدی در شرایط انتقال بار رسوبی غیریکنواخت را تحت شرایط جریان غیرماندگار پیشنهاد کردند و به مقایسه‌ی برآورد رسوب‌های انتقالی با ۴ مدل معمولی استفاده شده و مدل عددی ساخته شده توسعه خودشان پرداختند و نشان دادند که مدل عددی ارائه شده، نتایج رضایت‌بخشی را ارائه می‌کند.^[۳۴]

هو و آبراهام^{۳۵} (۲۰۰۵)، با انجام یک سری آزمایش‌ها، به تعریف مقاومت بستر پرداختند و مقاومت بستر در شرایط بستر متحرک را به دو قسمت اصطکاک ذرات و اثر تغییرشکل بستر تفکیک و اشاره کردند که مقاومت مربوط به تغییر فرم بستر را مستقیماً نمی‌توان اندازه‌گیری کرد و باید در ابتدا، مقاومت کل را در مورد بسترها متحرک برآورد کرد و سپس با برآورد مقاومت مربوط به ذرات از اختلاف دو مقدار به دست آمده به مقاومت مربوط به تغییر فرم بستر رسید.^[۳۵]

حسن و همکاران^{۳۶} (۲۰۰۶)، تأثیر افزایش تریجی رودخانه‌های شنی در شرایط آزمایشگاهی را بررسی کردند. ایشان ابتدا آزمایش‌هایی با استفاده از هیدروگراف‌های متقارن و نامتقارن انجام دادند و دریافتند که تأخیر زمانی بین دبی اوج شرایط جریان و سدیگراف (تغییرات دبی رسوب به زمان) در دوره‌های زمانی کوتاه‌مدت با هیدروگراف متقارن وجود دارد.^[۳۶] بمبار^{۳۷} و همکاران^{۳۷} (۲۰۱۱)، با بررسی یک سری آزمایش بر روی بارکف در شرایط جریان غیرماندگار، تعدادی از هیدروگراف‌های مثالی و ذوزنقه‌ی را بر روی بستر متحرک برقرار کردند و نشان دادند که میزان انتقال بار بستر در اثر تغییرات زمان هیدروگراف‌های مثالی و ذوزنقه‌ی، به اندازه‌ی ۱۱ و ۳۰ ثانیه تأخیر زمانی از زمان پایه‌ی هیدروگراف‌های جریان ورودی دارند.^[۳۷] بیلی^{۳۸} (۲۰۱۱)، میزان جریان و نزخ رسوب انتقالی را برای رودخانه‌ی فصلی گرب - اودا، که دارای کف شن و ماسه است، در فصل‌های جولای و آگوست اندازه‌گیری کرد. وی ابتدا عدد فرود جریان را جهت بررسی شرایط فوق بحرانی و تجزیه و تحلیل ویرگی‌های رسوب محاسبه و سپس تغییرات غلظت رسوب‌های معلق با دبی را آنالیز و منحنی‌های ساده‌ی برای انتقال بارکف و معلم استخراج کرد. همچنین تعدادی از معادلات پیش‌بینی بارکف را برای سری داده‌های رودخانه‌ی مطالعه‌ی بررسی کرد.^[۳۸]



شکل ۱. منحنی دانه‌بندی نمونه‌ی خاک‌های انتخابی.

جدول ۱. مشخصات نمونه‌ی خاک‌ها.

S2	S1	مؤلفه
۰/۰۱۴	۰/۰۰۶	S_0
۲/۵۵	۱/۷۵	d_{10}
۲/۵۷	۱/۸۱	d_{16}
۳/۰	۲/۱	d_{50}
۳/۱	۲/۱۵	d_{40}
۴/۱	۲/۵۵	d_{84}
۱/۲۶	۱/۱۹	δ_g
۳/۲۵	۲/۱۵	D_g
۲/۲۱	۱/۲۳	Cu

عوری از الک، انحراف معیار (δ_g)، اندازه‌ی متوسط (D_g) و ضریب یکنواختی (Cu) ذرات رسوب انتخابی با استفاده از روابط ۱ الی ۳ محاسبه و در جدول ۱ ارائه شده‌اند.

$$D_g = \sqrt{D_{16} \times D_{84}} \quad (1)$$

$$\delta_g = \sqrt{\frac{D_{84}}{D_{16}}} \quad (2)$$

$$Cu = \frac{D_{50}}{D_{10}} \quad (3)$$

۳.۲. جریان غیرماندگار

سیستم ایجاد جریان غیرماندگار در ابتدای کanal نصب و جریان در فاصله‌ی ۱۲۰ سانتی‌متری وارد بستر با دانه‌بندی متحرک شده است. دبی اوج هیدرولیکی راهی ورودی، با توجه به اندازه‌ی دانه‌بندی رسوب و از طریق اینورتر تعیین شده است. دبی جریان بین $۴/۴$ تا $۳/۳$ لیتر بر ثانیه بر عرض واحد بوده است. برای تولید هیدرولیکی، یک سیستم الکترومکانیک، که شامل مخزن با یک روزنه‌ی دایره‌ی در کف و یک مخروط فلزی متصل به یک سیستم الکترومکانیکی که با باز و بسته کردن تدریجی مجرأ، برای عبور جریان با هد ثابت از روزنه‌ی دبی متغیر به وجود می‌آورد، طراحی شده است.

پس از کالibrاسیون سیستم هیدرولیکی و با توجه به ارتفاع بیشینه‌ی آب در تانک (۱۱۴ سانتی‌متر) و نیز میزان عبور بیشینه‌ی جریان هیدرولیکی راهی تولیدی ارزیابی شده است. هیدرولیکی راهی تولیدی از طریق اندازه‌گیری جریان ورودی به کanal و از طریق سرریز لبه‌ی تیز برداشت شده‌اند. از طرفی با توجه به کم بودن زمان، پایه‌ی

و با نسبت وزنی یکسان تحت جریان غیرماندگار را در یک کanal آزمایشگاهی به طول ۱۲ مترو عرض ۵/۰ متر ارزیابی کردند و دریافتند که دبی انتقال رسوب‌های ریزدانه نسبت به رسوب‌های گوشیدار کمتر بوده و همچنین زمان آستانه‌ی حرکت ذرات رسوبی گوشیدار در شرایط افزایش دی نسبت به رسوب‌های ریزدانه تقدم داشته است.^[۲۴] وانگ و همکاران (۲۰۱۹)، میزان انتقال رسوب انتقالی تحت شرایط جریان غیرماندگار را در یک کanal با بسته ثابت بررسی کردند و آزمایش‌های برای انتقال رسوب در فلوم آزمایشگاهی به طول ۲۲، عرض ۷۵/۰ و عمق ۵/۰ متر با دبی ۱۷ لیتر بر ثانیه و شیب کف ۰۰۲ و دو نمونه‌ی خاک از نوع گراول با دانه‌بندی ۴۰ و ۲۰ میلی‌متر و شن درشت با دانه‌بندی ۹۵/۱ میلی‌متر انجام دادند. نتایج آنها نشان داد که میزان اندازه‌ی هیدرولیکی و پارامتر غیرماندگار تأثیر به سرایی در نزد انتقال رسوب دارد. همچنین میزان رسوب انتقالی در جریان‌های غیرماندگار در شاخه‌ی صعودی هیسترزیس هیدرولیکی نسبت به شاخه‌ی پایین رونده متفاوت است.^[۲۵] از آنجا که وجود شکل‌های بسته تأثیر زیادی در مشخصات جریان، به خصوص مقاومت جریان، می‌گذارند و همچنین تأثیر متقابلی که شکل‌های بسته و نزد انتقال رسوب در یکدیگر دارند، مطالعه و بررسی آثار مذکور و رابطه آنها با ابعاد شکل‌های بسته اهمیت خاصی دارد.^[۲۶] همان‌طور که اشاره شد، پژوهشگران مختلفی در بررسی انتقالی در شرایط جریان غیرماندگار آزمایش‌هایی انجام دادند. نمونه‌برداری از رسوب در آزمایش‌های آنها به صورت الکترونیکی بوده و یا لوازم و تجهیزات آزمایشگاهی پیشرفته لازم داشته و یا به طور کلی در انتهای کanal در بازه‌های زمانی کوتاه‌مدت جمع‌آوری شده است. هدف از پژوهش حاضر شیوه‌سازی آزمایشگاهی انتقال بارکف تحت جریان غیرماندگار بوده است.

۲. مواد و روش‌ها

پژوهش حاضر، در آزمایشگاه مدل‌های فیزیکی و هیدرولیکی گروه علوم و مهندسی آب دانشگاه فردوسی مشهد صورت گرفته و در پیش حاضر، مبانی تئوری و تجهیزات آزمایشگاهی ارائه شده است.

۲.۱. فلوم آزمایشگاهی

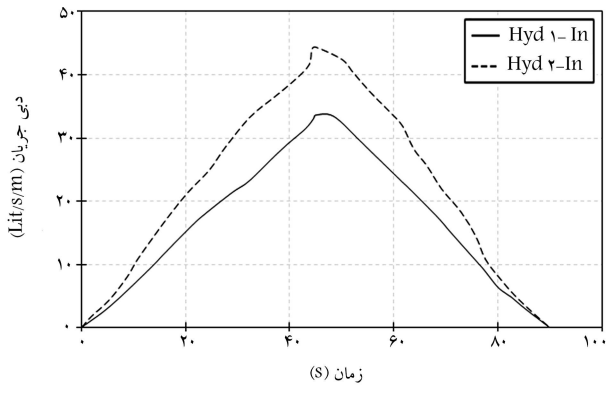
آزمایش‌های در یک کanal با جداره‌های شیشه‌ی شفاف و کف فلزی صیقلی رنگ شده به طول ۱۰ مترو عرض و ارتفاع ۳۰ و ۵۰ سانتی‌متر انجام شده‌اند. کanal مذکور قابلیت شیب‌پذیری داشته و از دو شیب ۰۰۶ و ۱۴/۰ و ۰/۰۰۶ استفاده شده است. طول بستر متحرک بر اساس نتایج به دست آمده از آزمایش‌های مقدماتی و با توجه به دبی بیشینه، بزرگ‌ترین هیدرولیکی و اندازه‌ی قطر ریزترین ذرات رسوب انتخابی برابر با ۲۰ سانتی‌متر در نظر گرفته شده است، که با اضافه کردن بستر صلب هم‌زبر بستر متحرک به میزان ۲۰۰ سانتی‌متر به منظور حذف تغییرات جریان در پایین دست به ۴۰۰ سانتی‌متر افزایش یافته است.

۲.۲. دانه‌بندی خاک

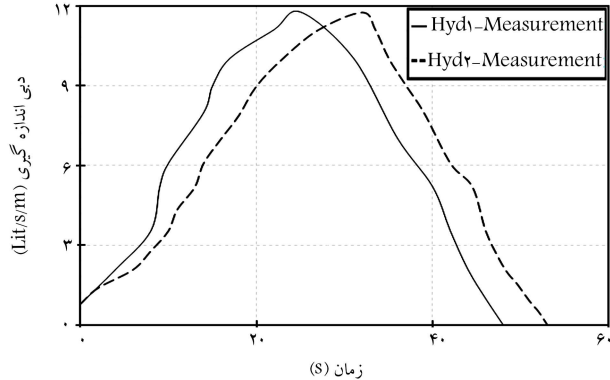
به منظور تعیین منحنی دانه‌بندی و برآورد قطر متوسط ذرات تشکیل‌دهنده‌ی خاک، مدل‌های آزمایشی به روش استاندارد ASTM^[۲۷] تهیه شده‌اند و منحنی دانه‌بندی خاک‌های انتخابی در شکل ۱ مشاهده می‌شود. همچنین مشخصات مربوط به اندازه‌های ۱۰، ۱۶، ۵۰ و ۸۴ درصد قطر ذرات

جدول ۲. مشخصات هیدروگراف‌های استفاده شده در آزمایش.

هیدروگراف	دبي اوج هیدروگراف جريان	مدت زمان شاخه‌ی صعودی	مدت زمان شاخه‌ی نزولی	جريان
(sec)	(sec)	(Li/sec/m)		
۴۵	۴۵	۳۲/۷		Hyd ۱-I
۴۵	۴۵	۴۴/۴		Hyd ۲-I
۲۳	۲۵	۱۱/۷۶		Hyd ۱-M
۴۳	۳۲	۱۱/۷۶		Hyd ۲-M



شکل ۴. هیدروگراف‌های جريان ورود.



شکل ۵. هیدروگراف‌های اندازه‌گیری شده.

(شکل ۵). مدت زمان شاخه‌های صعودی و نزولی در هیدروگراف‌های مثلثی، متقارن با یکدیگر و معادل ۴۵ ثانیه بودند. همچنین مشخصات هیدروگراف‌های تولید شده در جدول ۲ ارائه شده است.

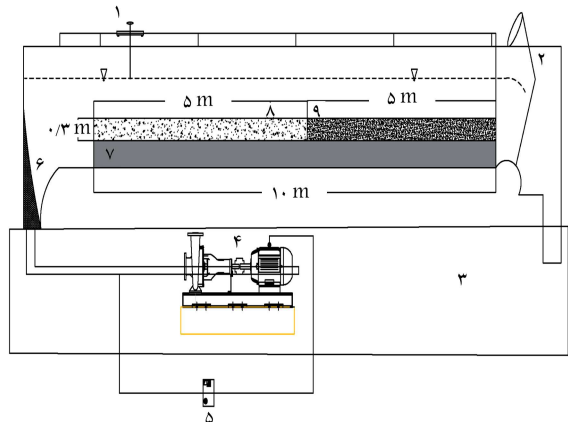
هیدروگراف‌های تولیدی همچون یک موج جريان عمل کرده و زمان تولید آنها کوتاه بوده است (شکل ۶).

۴.۲. معادلات حاكم بر شدت جريان و انتقال رسوب

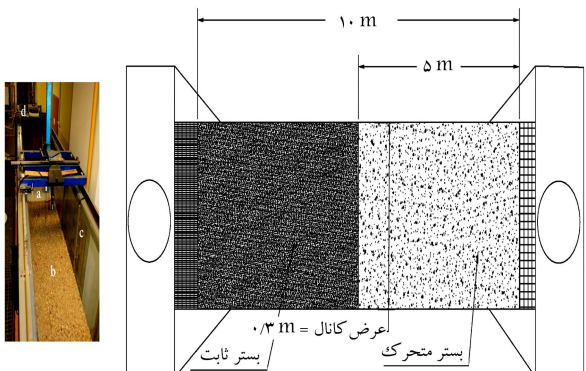
برآورد شدت جريان در شرایط ماندگار در مجاري باز از رابطه‌ی مانينگ^{۲۱} رابطه ۴ امکان‌پذير است:

$$Q_0 = AS_0^{\frac{1}{2}} R_h^{\frac{5}{2}} n^{-1} \quad (4)$$

كه در آن، A سطح مقطع جريان (مترمربع)، S₀ شيب بستر (متر بر متر)، R_h شعاع هيدروليكي (متر)، n ضرivity زبری مانينگ و Q₀ شدت جريان (متر مكعب بر ثانيه) است.



شکل ۲. نمای شماتيک از سيسitem آزمایشگاهی ۱- عمق سنج مکانيكى، ۲- دريچه خروجي، ۳- مخزن آب، ۴- پمپ، ۵- تنظيم‌گننده‌ی جريان، ۶- آرام‌گننده‌ی جريان، ۷- بستر صلب، ۸- بستر متحرک، ۹- بستر ثابت.



شکل ۳. الف) پلان بستر رسوبی استفاده شده، ب) تجهيزات استفاده شده -a- عمق سنج مکانيكى، b- بستر ثابت، c- متر، d- عمق سنج الكترونيكى.

هیدروگراف‌ها و همچنین ابزار لازم برای ثبت تغييرات پارامترهای هيدروليكي جريان در زمان کوتاه موجود نبود، لذا تغييرات عمق جريان در طول بستر در فواصل ۱۰، ۳، ۵، ۷، ۱۳ و ۲۰ سانتي متر از ابتداء ورودي بستر (به ازا هر دبى) از طريق عکس‌برداری برای هر هیدروگراف و نيز تغييرات اخير در فاصله‌ی ۱۰ سانتي متر بعد از بستر متحرک توسيط ۲ دوربين ثبت شده‌اند (شکل ۲). مقدار زمان تغييرات عمق آب و تراز بستر از تصاویر برداشت شده و توسيط نرم‌افزار Plot Digitizer استخراج شده‌اند. در شکل‌های ۳ و ۴، تجهيزات و سيسitem آزمایشگاهی مشاهده می‌شوند.

هیدروگراف‌های تولیدی مثلثی با زمان پايه‌ی ۹۰ ثانие در نظر گرفته شده‌اند

برای مقایسه بین رسوب‌های مختلف انتقالی، اینشتین (۱۹۴۲)، رابطه‌ی ۱۲ را با در نظر نگرفتن آستانه‌ی حرکت برای رسوب‌های یکنواخت معرفی کرده است:^[۲۳]

$$q_b^* = \frac{q_b}{\rho_s \sqrt{(\rho_s - \rho) g d_\delta^*}} \quad (12)$$

که در آن، q_b میزان دبی رسوب بارکف ($\frac{Kg}{m.s}$)، ρ_s و ρ به ترتیب جرم مخصوص ذرات و جرم مخصوص آب و d_δ اندازه‌ی متوسط ذرات (mm) هستند. همچنین کل شار رسوب انتقالی در طول هیدروگراف جریان غیرماندگار را می‌توان با عملکرد بارکل رسوب انتقالی نرمال به صورت رابطه‌ی ۱۳ محاسبه کرد:^[۱۰]

$$W_t^* = \frac{W_t}{\rho_s b d_\delta^*} \quad (13)$$

که در آن، W_t کل وزن بار رسوب انتقالی (kg) و W_t^* عملکرد رسوب انتقالی هستند و سایر پارامترها قبلًا معرفی شده‌اند.

۵.۲. تحلیل ابعادی

رابط حاکم بر بسیارات از پدیده‌های هیدرولیکی را نمی‌توان مستقیماً از قوانین حاکم بر سیالات و تئوری‌های موجود، نظری: قوانین بقای جرم، انرژی و ممتم به دست آورد. در چنین مواردی برای استخراج رابطه‌ی ریاضی حاکم بر چنین پدیده‌هایی، ابتدا کلیه متغیرهای مؤثر را در نظر گرفته و سپس به روش آنالیز ابعادی، گروه‌های بی بعد مؤثر تعیین و تغییرات آنها از طریق نتایج آزمایشگاهی بررسی شده است. عوامل مؤثر در روند انتقال بارکف را می‌توان به ۵ گروه تقسیم‌بندی کرد:

۱) خواص سیال (S_g , ρ , μ), به ترتیب: لزجت سیال، وزن مخصوص و جرم.

۲) خواص موج (Δt , A , y_m), به ترتیب: زمان پایه‌ی هیدروگراف، حجم آب زیر هیدروگراف در واحد عرض و عمق بیشینه.

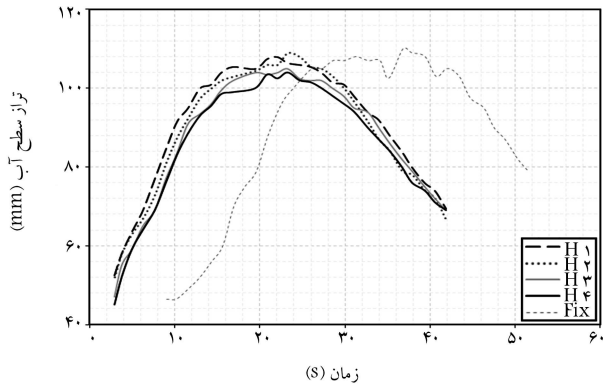
۳) ویژگی‌های کanal (L_0 , b_0 , S_0 , $U^* b$, η , ηa , ηx , η'), به ترتیب: خصوصیات طول کanal، عرض، شبیب، سرعت برشی، ضریب شکل هندسه‌ی مقطع، عامل تصحیح محور طولی کanal و تغییر مقطع عرضی کanal.

۴) ویژگی‌های رسوب (ρ_s , ds , Ge , Gs , δ_P , X , λ), به ترتیب: جرم مخصوص، قطر ذرات، غیریکنواختی ذرات رسوب در طول محیط خیس شده، عامل شکل ذرات رسوب، نفوذپذیری ذرات رسوب و یا دیواره‌های کanal، چسبندگی ذرات و تخلخل ذرات بستر.

۵) جریان پایه (U_0 , Y_0 , Z_0), به ترتیب: سرعت جریان، عمق و تراز کف بستر.

$$\left[\frac{y}{y_0}, \frac{U}{U_0}, \frac{Z}{Z_0}, C \right] = f \left[Fr, Re, \frac{A}{y L_0}, \frac{L_0}{y}, \frac{b}{y}, S_0, \tau_c^*, \eta, \eta a, \eta x, \eta', \frac{d_s}{y}, S_g \right] \quad (14)$$

$$\left[\frac{y}{y_0}, \frac{U}{U_0}, \frac{Z}{Z_0}, C \right] = f \left[Fr, T, \frac{A}{y L_0}, \frac{L_0}{y}, \frac{b}{y}, S_0, S_s, n, \frac{X}{L_0}, \frac{d_s}{y}, \frac{Z}{y}, \lambda, \frac{t}{y/U} \right] \quad (15)$$



شکل ۶. مقایسه پروفیل سطح آب برای آزمایش S_1 .

است. جریان غیرماندگار از طریق رابطه‌ی ۵ محاسبه می‌شود.^[۲۸]

$$Q = BC y^{1/5} \sqrt{\left(S_0 + \frac{\partial A}{\partial Q} \frac{\partial y}{\partial t} \right)} \quad (5)$$

در کanal مستطیلی عریض، دبی در واحد عرض با عمق جریان طبق رابطه‌ی مقاومت به صورت $q = v h$ تغییر پیدا می‌کند. بنابراین شکل ساده‌ی معادله‌ی انتشار موج و رابطه‌ی سرعت موج در جریان آب به صورت رابطه‌ی ۶ است:^[۲۹]

$$\frac{\partial y}{\partial t} + \frac{\partial Q}{\partial A} \cdot \frac{\partial y}{\partial x} = 0. \quad (6)$$

نسبت شدت جریان در شرایط غیرماندگار (Q_0) به شرایط در حالت دائمی (Q_∞) وابسته به سرعت برشی جریان پایه (U_0) و خصوصیات موج جریان ($\frac{\partial y}{\partial t}$) یا تابع عدد غیرماندگاری (Γ) است. عدد غیرماندگاری (Γ) توسط (سوسکا و گراف (۱۹۸۵)،^[۲۰] و (سوسکا (۱۹۸۷)،^[۲۱] (خسروی و همکاران (۲۰۱۹)،^[۲۲] (وانگ و همکاران (۲۰۱۹)،^[۲۳] (وانگ و همکاران (۲۰۲۱)،^[۲۴] (خسروی و همکاران (۲۰۲۰)،^[۲۵] (خسروی و همکاران (۲۰۲۱)،^[۲۶] (خسروی و همکاران (۲۰۲۰)،^[۲۷] (خسروی و همکاران (۲۰۲۰)،^[۲۸] (خسروی و همکاران (۲۰۲۰)،^[۲۹] (خسروی و همکاران (۲۰۲۰)،^[۳۰] (خسروی و همکاران (۲۰۲۰)،^[۳۱] (خسروی و همکاران (۲۰۲۰)،^[۳۲] (خسروی و همکاران (۲۰۲۰)،^[۳۳] (خسروی و همکاران (۲۰۲۰)،^[۳۴] (خسروی و همکاران (۲۰۲۰)،^[۳۵] (خسروی و همکاران (۲۰۲۰)،^[۳۶] (خسروی و همکاران (۲۰۲۰)،^[۳۷] (خسروی و همکاران (۲۰۲۰)،^[۳۸] (خسروی و همکاران (۲۰۲۰)،^[۳۹] (خسروی و همکاران (۲۰۲۰)،^[۴۰] (خسروی و همکاران (۲۰۲۰)،^[۴۱] (خسروی و همکاران (۲۰۲۰)،^[۴۲] (خسروی و همکاران (۲۰۲۰)،^[۴۳] (خسروی و همکاران (۲۰۲۰)،^[۴۴] (خسروی و همکاران (۲۰۲۰)،^[۴۵] (خسروی و همکاران (۲۰۲۰)،^[۴۶] (خسروی و همکاران (۲۰۲۰)،^[۴۷] (خسروی و همکاران (۲۰۲۰)،^[۴۸] (خسروی و همکاران (۲۰۲۰)،^[۴۹] (خسروی و همکاران (۲۰۲۰)،^[۵۰] (خسروی و همکاران (۲۰۲۰)،^[۵۱] (خسروی و همکاران (۲۰۲۰)،^[۵۲] (خسروی و همکاران (۲۰۲۰)،^[۵۳] (خسروی و همکاران (۲۰۲۰)،^[۵۴] (خسروی و همکاران (۲۰۲۰)،^[۵۵] (خسروی و همکاران (۲۰۲۰)،^[۵۶] (خسروی و همکاران (۲۰۲۰)،^[۵۷] (خسروی و همکاران (۲۰۲۰)،^[۵۸] (خسروی و همکاران (۲۰۲۰)،^[۵۹] (خسروی و همکاران (۲۰۲۰)،^[۶۰] (خسروی و همکاران (۲۰۲۰)،^[۶۱] (خسروی و همکاران (۲۰۲۰)،^[۶۲] (خسروی و همکاران (۲۰۲۰)،^[۶۳] (خسروی و همکاران (۲۰۲۰)،^[۶۴] (خسروی و همکاران (۲۰۲۰)،^[۶۵] (خسروی و همکاران (۲۰۲۰)،^[۶۶] (خسروی و همکاران (۲۰۲۰)،^[۶۷] (خسروی و همکاران (۲۰۲۰)،^[۶۸] (خسروی و همکاران (۲۰۲۰)،^[۶۹] (خسروی و همکاران (۲۰۲۰)،^[۷۰] (خسروی و همکاران (۲۰۲۰)،^[۷۱] (خسروی و همکاران (۲۰۲۰)،^[۷۲] (خسروی و همکاران (۲۰۲۰)،^[۷۳] (خسروی و همکاران (۲۰۲۰)،^[۷۴] (خسروی و همکاران (۲۰۲۰)،^[۷۵] (خسروی و همکاران (۲۰۲۰)،^[۷۶] (خسروی و همکاران (۲۰۲۰)،^[۷۷] (خسروی و همکاران (۲۰۲۰)،^[۷۸] (خسروی و همکاران (۲۰۲۰)،^[۷۹] (خسروی و همکاران (۲۰۲۰)،^[۸۰] (خسروی و همکاران (۲۰۲۰)،^[۸۱] (خسروی و همکاران (۲۰۲۰)،^[۸۲] (خسروی و همکاران (۲۰۲۰)،^[۸۳] (خسروی و همکاران (۲۰۲۰)،^[۸۴] (خسروی و همکاران (۲۰۲۰)،^[۸۵] (خسروی و همکاران (۲۰۲۰)،^[۸۶] (خسروی و همکاران (۲۰۲۰)،^[۸۷] (خسروی و همکاران (۲۰۲۰)،^[۸۸] (خسروی و همکاران (۲۰۲۰)،^[۸۹] (خسروی و همکاران (۲۰۲۰)،^[۹۰] (خسروی و همکاران (۲۰۲۰)،^[۹۱] (خسروی و همکاران (۲۰۲۰)،^[۹۲] (خسروی و همکاران (۲۰۲۰)،^[۹۳] (خسروی و همکاران (۲۰۲۰)،^[۹۴] (خسروی و همکاران (۲۰۲۰)،^[۹۵] (خسروی و همکاران (۲۰۲۰)،^[۹۶] (خسروی و همکاران (۲۰۲۰)،^[۹۷] (خسروی و همکاران (۲۰۲۰)،^[۹۸] (خسروی و همکاران (۲۰۲۰)،^[۹۹] (خسروی و همکاران (۲۰۲۰)،^[۱۰۰] (خسروی و همکاران (۲۰۲۰)،^[۱۰۱] (خسروی و همکاران (۲۰۲۰)،^[۱۰۲] (خسروی و همکاران (۲۰۲۰)،^[۱۰۳] (خسروی و همکاران (۲۰۲۰)،^[۱۰۴] (خسروی و همکاران (۲۰۲۰)،^[۱۰۵] (خسروی و همکاران (۲۰۲۰)،^[۱۰۶] (خسروی و همکاران (۲۰۲۰)،^[۱۰۷] (خسروی و همکاران (۲۰۲۰)،^[۱۰۸] (خسروی و همکاران (۲۰۲۰)،^[۱۰۹] (خسروی و همکاران (۲۰۲۰)،^[۱۱۰] (خسروی و همکاران (۲۰۲۰)،^[۱۱۱] (خسروی و همکاران (۲۰۲۰)،^[۱۱۲] (خسروی و همکاران (۲۰۲۰)،^[۱۱۳] (خسروی و همکاران (۲۰۲۰)،^[۱۱۴] (خسروی و همکاران (۲۰۲۰)،^[۱۱۵] (خسروی و همکاران (۲۰۲۰)،^[۱۱۶] (خسروی و همکاران (۲۰۲۰)،^[۱۱۷] (خسروی و همکاران (۲۰۲۰)،^[۱۱۸] (خسروی و همکاران (۲۰۲۰)،^[۱۱۹] (خسروی و همکاران (۲۰۲۰)،^[۱۲۰] (خسروی و همکاران (۲۰۲۰)،^[۱۲۱] (خسروی و همکاران (۲۰۲۰)،^[۱۲۲] (خسروی و همکاران (۲۰۲۰)،^[۱۲۳] (خسروی و همکاران (۲۰۲۰)،^[۱۲۴] (خسروی و همکاران (۲۰۲۰)،^[۱۲۵] (خسروی و همکاران (۲۰۲۰)،^[۱۲۶] (خسروی و همکاران (۲۰۲۰)،^[۱۲۷] (خسروی و همکاران (۲۰۲۰)،^[۱۲۸] (خسروی و همکاران (۲۰۲۰)،^[۱۲۹] (خسروی و همکاران (۲۰۲۰)،^[۱۳۰] (خسروی و همکاران (۲۰۲۰)،^[۱۳۱] (خسروی و همکاران (۲۰۲۰)،^[۱۳۲] (خسروی و همکاران (۲۰۲۰)،^[۱۳۳] (خسروی و همکاران (۲۰۲۰)،^[۱۳۴] (خسروی و همکاران (۲۰۲۰)،^[۱۳۵] (خسروی و همکاران (۲۰۲۰)،^[۱۳۶] (خسروی و همکاران (۲۰۲۰)،^[۱۳۷] (خسروی و همکاران (۲۰۲۰)،^[۱۳۸] (خسروی و همکاران (۲۰۲۰)،^[۱۳۹] (خسروی و همکاران (۲۰۲۰)،^[۱۴۰] (خسروی و همکاران (۲۰۲۰)،^[۱۴۱] (خسروی و همکاران (۲۰۲۰)،^[۱۴۲] (خسروی و همکاران (۲۰۲۰)،^[۱۴۳] (خسروی و همکاران (۲۰۲۰)،^[۱۴۴] (خسروی و همکاران (۲۰۲۰)،^[۱۴۵] (خسروی و همکاران (۲۰۲۰)،^[۱۴۶] (خسروی و همکاران (۲۰۲۰)،^[۱۴۷] (خسروی و همکاران (۲۰۲۰)،^[۱۴۸] (خسروی و همکاران (۲۰۲۰)،^[۱۴۹] (خسروی و همکاران (۲۰۲۰)،^[۱۵۰] (خسروی و همکاران (۲۰۲۰)،^[۱۵۱] (خسروی و همکاران (۲۰۲۰)،^[۱۵۲] (خسروی و همکاران (۲۰۲۰)،^[۱۵۳] (خسروی و همکاران (۲۰۲۰)،^[۱۵۴] (خسروی و همکاران (۲۰۲۰)،^[۱۵۵] (خسروی و همکاران (۲۰۲۰)،^[۱۵۶] (خسروی و همکاران (۲۰۲۰)،^[۱۵۷] (خسروی و همکاران (۲۰۲۰)،^[۱۵۸] (خسروی و همکاران (۲۰۲۰)،^[۱۵۹] (خسروی و همکاران (۲۰۲۰)،^[۱۶۰] (خسروی و همکاران (۲۰۲۰)،^[۱۶۱] (خسروی و همکاران (۲۰۲۰)،^[۱۶۲] (خسروی و همکاران (۲۰۲۰)،^[۱۶۳] (خسروی و همکاران (۲۰۲۰)،^[۱۶۴] (خسروی و همکاران (۲۰۲۰)،^[۱۶۵] (خسروی و همکاران (۲۰۲۰)،^[۱۶۶] (خسروی و همکاران (۲۰۲۰)،^[۱۶۷] (خسروی و همکاران (۲۰۲۰)،^[۱۶۸] (خسروی و همکاران (۲۰۲۰)،^[۱۶۹] (خسروی و همکاران (۲۰۲۰)،^[۱۷۰] (خسروی و همکاران (۲۰۲۰)،^[۱۷۱] (خسروی و همکاران (۲۰۲۰)،^[۱۷۲] (خسروی و همکاران (۲۰۲۰)،^[۱۷۳] (خسروی و همکاران (۲۰۲۰)،^[۱۷۴] (خسروی و همکاران (۲۰۲۰)،^[۱۷۵] (خسروی و همکاران (۲۰۲۰)،^[۱۷۶] (خسروی و همکاران (۲۰۲۰)،^[۱۷۷] (خسروی و همکاران (۲۰۲۰)،^[۱۷۸] (خسروی و همکاران (۲۰۲۰)،^[۱۷۹] (خسروی و همکاران (۲۰۲۰)،^[۱۸۰] (خسروی و همکاران (۲۰۲۰)،^[۱۸۱] (خسروی و همکاران (۲۰۲۰)،^[۱۸۲] (خسروی و همکاران (۲۰۲۰)،^[۱۸۳] (خسروی و همکاران (۲۰۲۰)،^[۱۸۴] (خسروی و همکاران (۲۰۲۰)،^[۱۸۵] (خسروی و همکاران (۲۰۲۰)،^[۱۸۶] (خسروی و همکاران (۲۰۲۰)،^[۱۸۷] (خسروی و همکاران (۲۰۲۰)،^[۱۸۸] (خسروی و همکاران (۲۰۲۰)،^[۱۸۹] (خسروی و همکاران (۲۰۲۰)،^[۱۹۰] (خسروی و همکاران (۲۰۲۰)،^[۱۹۱] (خسروی و همکاران (۲۰۲۰)،^[۱۹۲] (خسروی و همکاران (۲۰۲۰)،^[۱۹۳] (خسروی و همکاران (۲۰۲۰)،^[۱۹۴] (خسروی و همکاران (۲۰۲۰)،^[۱۹۵] (خسروی و همکاران (۲۰۲۰)،^[۱۹۶] (خسروی و همکاران (۲۰۲۰)،^[۱۹۷] (خسروی و همکاران (۲۰۲۰)،^[۱۹۸] (خسروی و همکاران (۲۰۲۰)،^[۱۹۹] (خسروی و همکاران (۲۰۲۰)،^[۲۰۰] (خسروی و همکاران (۲۰۲۰)،^[۲۰۱] (خسروی و همکاران (۲۰۲۰)،^[۲۰۲] (خسروی و همکاران (۲۰۲۰)،^[۲۰۳] (خسروی و همکاران (۲۰۲۰)،^[۲۰۴] (خسروی و همکاران (۲۰۲۰)،^[۲۰۵] (خسروی و همکاران (۲۰۲۰)،^[۲۰۶] (خسروی و همکاران (۲۰۲۰)،^[۲۰۷] (خسروی و همکاران (۲۰۲۰)،^[۲۰۸] (خسروی و همکاران (۲۰۲۰)،^[۲۰۹] (خسروی و همکاران (۲۰۲۰)،^[۲۱۰] (خسروی و همکاران (۲۰۲۰)،^[۲۱۱] (خسروی و همکاران (۲۰۲۰)،^[۲۱۲] (خسروی و همکاران (۲۰۲۰)،^[۲۱۳] (خسروی و همکاران (۲۰۲۰)،^[۲۱۴] (خسروی و همکاران (۲۰۲۰)،^[۲۱۵] (خسروی و همکاران (۲۰۲۰)،^[۲۱۶] (خسروی و همکاران (۲۰۲۰)،^[۲۱۷] (خسروی و همکاران (۲۰۲۰)،^[۲۱۸] (خسروی و همکاران (۲۰۲۰)،^[۲۱۹] (خسروی و همکاران (۲۰۲۰)،^[۲۲۰] (خسروی و همکاران (۲۰۲۰)،^[۲۲۱] (خسروی و همکاران (۲۰۲۰)،^[۲۲۲] (خسروی و همکاران (۲۰۲۰)،^[۲۲۳] (خسروی و همکاران (۲۰۲۰)،^[۲۲۴] (خسروی و همکاران (۲۰۲۰)،^[۲۲۵] (خسروی و همکاران (۲۰۲۰)،^[۲۲۶] (خسروی و همکاران (۲۰۲۰)،^[۲۲۷] (خسروی و همکاران (۲۰۲۰)،^[۲۲۸] (خسروی و همکاران (۲۰۲۰)،^[۲۲۹] (خسروی و همکاران (۲۰۲۰)،^[۲۳۰] (خسروی و همکاران (۲۰۲۰)،^[۲۳۱] (خسروی و همکاران (۲۰۲۰)،^[۲۳۲] (خسروی و همکاران (۲۰۲۰)،^[۲۳۳] (خسروی و همکاران (۲۰۲۰)،^[۲۳۴] (خسروی و همکاران (۲۰۲۰)،^[۲۳۵] (خسروی و همکاران (۲۰۲۰)،^[۲۳۶] (خسروی و همکاران (۲۰۲۰)،^[۲۳۷] (خسروی و همکاران (۲۰۲۰)،^[۲۳۸] (خسروی و همکاران (۲۰۲۰)،^[۲۳۹] (خسروی و همکاران (۲۰۲۰)،^[۲۴۰] (خسروی و همکاران (۲۰۲۰)،^[۲۴۱] (خسروی و همکاران (۲۰۲۰)،^[۲۴۲] (خسروی و همکاران (۲۰۲۰)،^[۲۴۳] (خسروی و همکاران (۲۰۲۰)،^[۲۴۴] (خسروی و همکاران (۲۰۲۰)،^[۲۴۵] (خسروی و همکاران (۲۰۲۰)،^[۲۴۶] (خسروی و همکاران (۲۰۲۰)،^[۲۴۷] (خسروی و همکاران (۲۰۲۰)،^[۲۴۸] (خسروی و همکاران (۲۰۲۰)،^[۲۴۹] (خسروی و همکاران (۲۰۲۰)،^[۲۵۰] (خسروی و همکاران (۲۰۲۰)،^[۲۵۱] (خسروی و همکاران (۲۰۲۰)،^[۲۵۲] (خسروی و همکاران (۲۰۲۰)،^[۲۵۳] (خسروی و همکاران (۲۰۲۰)،^[۲۵۴] (خسروی و همکاران (۲۰۲۰)،^[۲۵۵] (خسروی و همکاران (۲۰۲۰)،^[۲۵۶] (خسروی و همکاران (۲۰۲۰)،^[۲۵۷] (خسروی و همکاران (۲۰۲۰)،^[۲۵۸] (خسروی و همکاران (۲۰۲۰)،^[۲۵۹] (خسروی و همکاران (۲۰۲۰)،^[۲۶۰] (خسروی و همکاران (۲۰۲۰)،^[۲۶۱] (خسروی و همکاران (۲۰۲۰)،^[۲۶۲] (خسروی و همکاران (۲۰۲۰)،^[۲۶۳] (خسروی و همکاران (۲۰۲۰)،^[۲۶۴] (خسروی و همکاران (۲۰۲۰)،^[۲۶۵] (خسروی و همکاران (۲۰۲۰)،^[۲۶۶] (خسروی و همکاران (۲۰۲۰)،^[۲۶۷] (خسروی و همکاران (۲۰۲۰)،^[۲۶۸] (خسروی و همکاران (۲۰۲۰)،^[۲۶۹] (خسروی و همکاران (۲۰۲۰)،^[۲۷۰] (خسروی و همکاران (۲۰۲۰)،^[۲۷۱] (خسروی و همکاران (۲۰۲۰)،^[۲۷۲] (خسروی و همکاران (۲۰۲۰)،^[۲۷۳] (خسروی و همکاران (۲۰۲۰)،^[۲۷۴] (خسروی و همکاران (۲۰۲۰)،^[۲۷۵] (خسروی و همکاران (۲۰۲۰)،^[۲۷۶] (خسروی و همکاران (۲۰۲۰)،^[۲۷۷] (خسروی و همکاران (۲۰۲۰)،^[۲۷۸] (خسروی و همکاران (۲۰۲۰)،^[۲۷۹] (خسروی و همکاران

جدول ۳. بررسی معلق شدن ذرات رسوب بار بسته.

$\frac{h}{d}$	θ_C	$\frac{U_*}{\omega_s}$	ω_s (m/s)	U_* (m/s)	R (m)	y_{max} (m)	S _o
۳/۵	۰/۱۴	۰/۳۷	۰/۱۵	۰/۰۵۷	۰/۰۵۶	۰/۰۸۳	۰/۰۰۶
	۰/۰۲۱	۰/۴۶	۰/۱۸	۰/۰۳۸	۰/۰۵	۰/۰۷۵	۰/۰۱۴

متغیر بوده است، برای رسیدن به نسبت های مشخص $\frac{h}{d}$ ، دبی جریان پایه نیز تغییر خواهد کرد. لذا نسبت مذکور چنان انتخاب شده است که رسیدن ذرات بسته برای بیشترین عمق جریان، پایه حرکتی نداشته باشند.

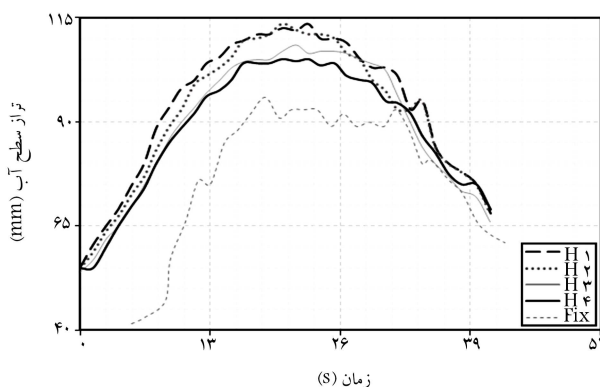
با توجه به مقادیر جدول ۳ مشاهده می شود که در تمامی شب های انتخابی، نسبت بی بعد ($\frac{U_*}{\omega_s}$) بیشتر از مقدار پیشنهادی انگولند شده و با توجه به معیار بگنوولد می توان نتیجه گرفت که ذرات رسوبی بستر استفاده شده در آزمایش، معلق بوده اند، که مشاهدات چشمی نیز آن را تأیید می کند.

۳. نتایج و بحث

۱.۳. بررسی پروفیل های سطح آب

همانگونه که در آبراهه های کم عمق، جریان در فرم بسته تأثیر می گذارد و شکل آن را تغییر می دهد، اثر متقابل آن، شکل سطح آب را متأثر خواهد کرد. به نظر می رسد تجمعی شرایط ذکر شده، خصوصیات هیدرولیکی جریان، مانند سرعت و عدد فرود، را نسبت به بسترهای غیر متحرک متفاوت می کند. چنانکه در جریان های اشاره شده به وجود مشاهده می شود، وقوع مقادیر حدی پارامترهای موجود (سرعت، دبی، تنش برشی، عدد فرود و ...) هم زمان رخ نمی دهد و تفاوت زمانی شرایط وقوع، تابع شرایط بسته و خصوصیات تاز جریان است. در شکل های ۶ و ۷، پروفیل سطح آب برای آزمایش های S_1 و S_2 مشاهده می شود.

با توجه به پروفیل های به دست آمده برای نقاط مختلف در طول بستر مشخص است که تغییرات عده هی به وجود آمده در سطح بسته در ابتدای آن بیش از سایر نقاط بوده و در نقاط دوم و سوم که بخشی از رسوب ها جابه جا و در مناطق مذکور جمع شده اند، به دلیل کاهش سطح مقطع، سرعت افزایش و عمق جریان کاهش یافته است. نقاط بعدی به سمت پایین دست نیز به لحاظ این که تحت تأثیر موج رسوبی قرار نگرفته است، تغییر فرم زیادی نداشته و لذا مقاومت ایجاد شده در برابر جریان در نقاط اشاره شده کمتر و سطح بستر یکنواخت تر و تاز سطح آب در چنین نقاطی نسبت به نقاط قبلی کمتر بوده است.


 شکل ۷. مقایسه پروفیل سطح آب برای آزمایش S_2 .

از مجموعه گروه های بدون بعد ذکر شده (روابط ۱۴ و ۱۵)، روابط ۱۶ الی ۱۹ در انتقال بار کف تحت تأثیر جریان غیر ماندگار، اهمیت بیشتری دارند.

$$\tau^* = \frac{\tau}{(\rho_s - \rho)gd_i} = \frac{R_h S_o}{(s-1)ds} \quad (16)$$

$$Re^* = \frac{\sqrt{gR_h S_o} ds}{\nu} \quad (17)$$

$$Fr^* = \frac{Q_p}{\sqrt{(s-1)gd_s^5}} \quad (18)$$

$$\kappa = \frac{Q_s}{Q_p \rho (s-1)} \quad (19)$$

که در آنها، τ پارامتر شیلدز، τ تنش برشی، R_h شعاع هیدرولیکی، S_o شب کف، Re^* رینولز برشی ذره، Fr^* فرود ذره، ρ_s و ρ به ترتیب جرم مخصوص ذرات و جرم مخصوص آب، d_s قطر ذرات و g شتاب ثقل هستند.

تشخیص شرایط جریان بر مبنای پارامتر بدن بعد رینولز است، چنانچه مقدار آن در کanal ها بیش از ۲۰۰۰ باشد، آنگاه جریان آشفته خواهد بود.

۶. شرایط معلق شدن ذرات

معیارهای مختلفی برای کنترل شرایط معلق بدن ذرات وجود دارد، که نشان دهندهی حرکت ذرات به صورت بار کف هستند، که به نسبت ($\frac{U_*}{\omega_s}$) بستگی دارد، که در آن ω_s سرعت سقوط ذرات حالت مستقر است و U_* از رابطه $\tau = \frac{U_*}{\omega_s}$ به دست می آید. نسبت ($\frac{U_*}{\omega_s}$)، که به عنوان معیار بگنوولد 23 شناخته می شود، واحد بوده و طبق پیشنهادی انگولند 24 مساوی $25/20$ است و در صورتی که نسبت اخیر کمتر از مقدار پیشنهادی باشد، آنگاه حرکت ذرات فقط به صورت بار کف است.^[۲۵، ۲۶] رسوبی برای برآورد سرعت سقوط ذرات (ω)، روابط ۲۱ و ۲۲ را ارائه کرده است:^[۲۶]

$$U_* = \sqrt{g R_h S_o} \quad (20)$$

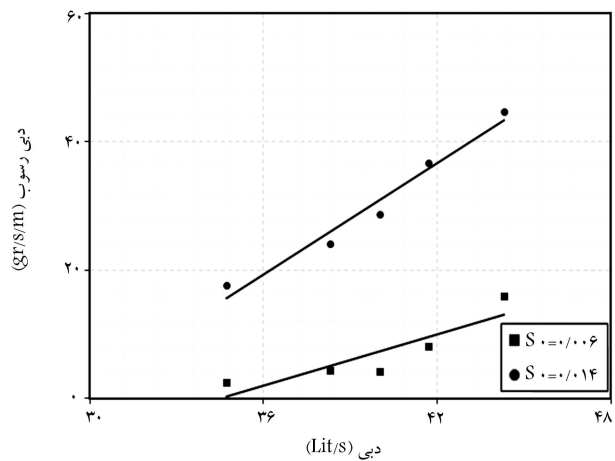
$$\omega_s = \frac{\sqrt{2/3 g (G_s - 1) d_s^5 + 26 v^2} - 6v}{D_s} \quad d < 2\text{ mm} \quad (21)$$

$$\omega_s = 3.22 (d_s)^{1/5} \quad d > 2\text{ mm} \quad (22)$$

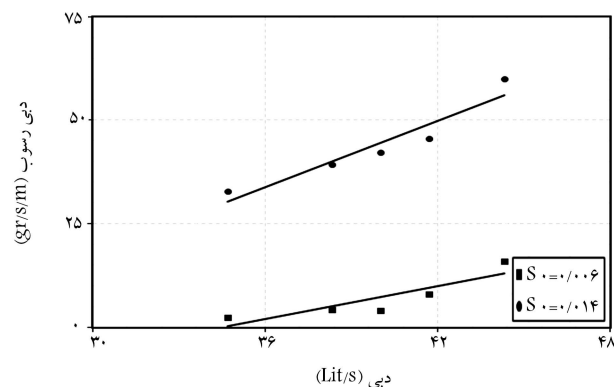
که در آنها، g شتاب ثقل (متر بر مجدور ثانیه)، R_h شعاع هیدرولیکی جریان (متر)، S_o شب کف کanal (متر بر متر)، G_s چگالی ذرات رسوب و v لزجت سینماتیک سیال هستند.

در آزمایش های پژوهش حاضر از دو شب $0/006$ و $0/014$ برای بستر رسوبی استفاده شده است. بیشینه عمق جریان در دو شب اخیر برابر با $7/9$ و $8/3$ سانتی متر اندازه گیری شده است. در جدول ۳، مقدار بی بعد ($\frac{U_*}{\omega_s}$) برای شب های مختلف بستر ارائه شده است.

برای کنترل میزان خروجی پمپ، آن را از طریق میزان بازشدنگی شیرخروجی و به روش حجمی، کالیبره کرده و چون شب بستر در حالت های مختلف آزمایشی

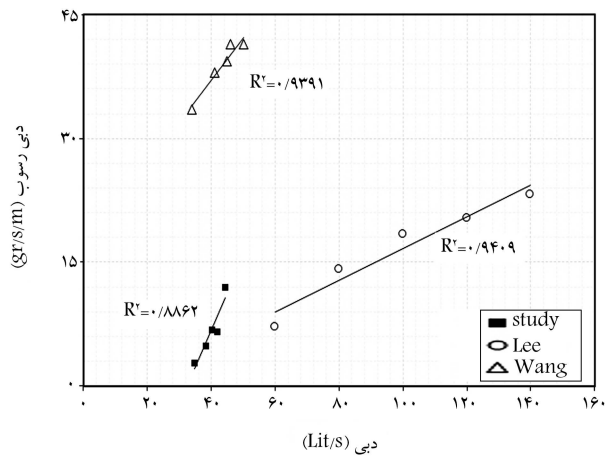


شکل ۹. مقایسه‌ی دبی متوسط بارکف با $D_{50} = 3/0 \text{ mm}$.



شکل ۸. مقایسه‌ی دبی متوسط بارکف با $D_{50} = 2/1 \text{ mm}$.

مقایسه‌ی فاصله‌ی تراز سطح آب در منحنی‌های مربوط به دانه‌بندی ۳ میلی‌متر (S_3) در نقاط مختلف با منحنی‌های مربوط به دانه‌بندی ۱/۱ میلی‌متر (S_1) نشان می‌دهد که اولاً، تراز کلی سطح آب در دانه‌بندی ۳ میلی‌متر به دلیل شیب زیاد در آزمایش‌های مذکور کمتر بوده است. اما اختلاف تراز سطح آب در نقاط مختلف در طول بستر نیز کمتر از منحنی‌های مشابه در دانه‌بندی ۱/۱ میلی‌متر بوده است.



شکل ۱۰. مقایسه‌ی نتایج روند تغییرات دبی رسوب انتقالی.

میزان رسوب انتقالی در شیب بیشتر، علی‌رغم این‌که افزایش نامحسوسی نسبت شیب کمتر دارد، به هر صورت مؤید نتیجه‌گیری قبلی است. همچنین با توجه به پایین بودن مقادیر دبی بیشینه‌ی هیدروگراف‌های انتخابی، حساسیت شیب در نتایج اخیر واضح‌تر بوده و روند تغییرات رسوب کثیر شده است. البته ذکر این نکته لازم است که عرض کم کانال آزمایشی در میزان رسوب انتقالی مؤثر خواهد بود، که این موضوع در گزارش حاضر، مطالعه و بررسی نشده است.

در دانه‌بندی ۲/۱ میلی‌متر، نتایج تحقیقات لی [۱۰] (۲۰۰۴) قابل مقایسه با نتایج مطالعه‌ی حاضر است. نکته‌ی قابل توجه این‌که زمان پایه‌ی هیدروگراف‌های آزمایش‌های وی طولانی و بین ۱۲۶۰ تا ۴۸۵۰ ثانیه تغییر می‌کرده است. عمق جریان پایه حدود ۸۸/۰ متر و دبی پایه ۴۰ لیتر بر ثانیه بر واحد عرض، دبی بیشینه‌ی هیدروگراف‌ها بین ۵۰ تا ۱۴۰ لیتر بر ثانیه بر واحد عرض متغیر در نظر گرفته شده است. علی‌رغم این‌که شرایط اولیه در آزمایش‌های کانون با مطالعه‌ی حاضر، در بیشتر موارد متفاوت است؛ ولی در شرایط خاصی امکان سنجش کلی نتایج از دو روش وجود دارد.

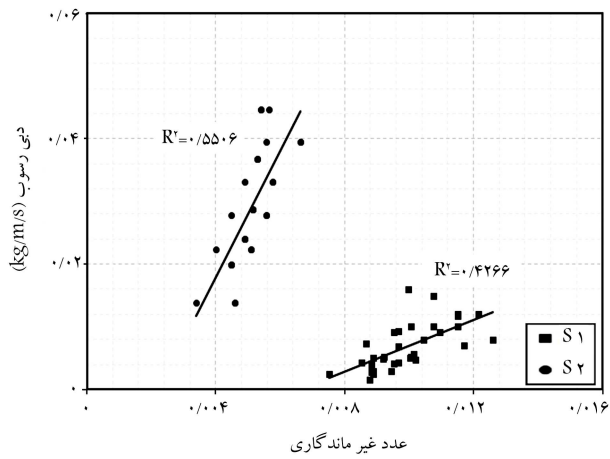
در شکل ۱۰، نتایج مربوط به دانه‌بندی ۲/۱ میلی‌متر با نتایج لی و همکاران [۱۰] و وانگ و همکاران [۲۰۱۹] مقایسه شده است. علی‌رغم این‌که از نظر شیب و دبی جریان در مطالعات انجام شده تفاوت وجود دارد، اما روند تغییرات دبی رسوب انتقالی از آزمایش‌های لی و وانگ با نتایج پژوهش حاضر، هماهنگی

گرفته [۲۵] (۱۹۹۸)، با بیان رابطه‌ی پیوستگی و مومنتم و معادله‌ی شریز [۲۶] به ارائه‌ی رابطه‌ی اصلی جریان غیرماندگار پرداخته و به تغییرات زمانی متغیرهایی، از جمله: ضرایب مقاومت دارسی، شیب خط انرژی، ضریب مقاومت شری، سرعت برشی، سرعت، دبی و عمق جریان نسبت به زمان توجه کرده است. [۷۲] بیشینه‌ی عمق جریان همواره بعد از دبی بیشینه رخ می‌دهد و سرعت متوسط نیز قبل از دبی بیشینه وقوع می‌یابد. [۲۷]

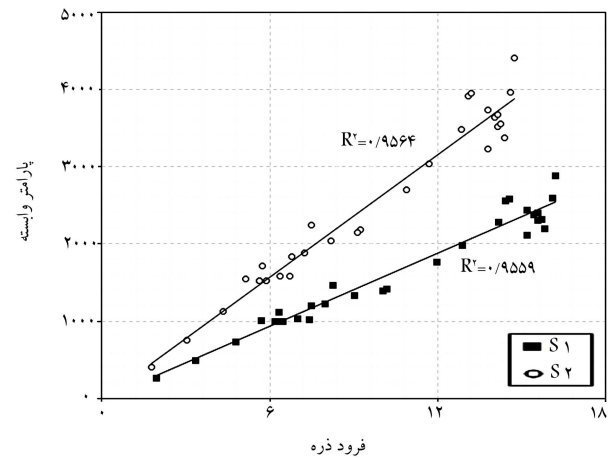
رودخانه‌های فصلی معمولاً در اراضی پرشیب واقع هستند. شیب زیاد، آبراهه‌های مذکور را در زمرة‌ی رودخانه‌های پرشیب با عرض کم و عمق زیاد قرار داده است. از طرفی، با توجه به خصوصیات هواشناسی و اقلیمی مناطق قرارگیری آبراهه‌های اشاره شده، بروز رگبارهای شدید و تشکیل رواناب در فاصله‌ی زمانی کوتاه، شرایط را برای ایجاد سیلاب قوی و با قدرت زیاد و توان انتقال مواد بستر با قطر زیاد را فراهم می‌کند. همچنین شیب زیاد، شرایط انتقال ذرات کف (درشتدانه) را به سمت پایین دست فراهم می‌کند و چون قدرت جریان در فاصله‌ی زمانی کوتاه، کاهش سریع دارد، مواد بستر به صورت رسوب‌های اریزه‌بی و با پیشانی نسبتاً قائم قرار می‌گیرند، که نشان‌دهنده‌ی انتقال بارکف به صورت گام به گام به سمت پایین دست است. این وضعیت از خصوصیات مهم رودخانه‌های فصلی است.

براساس دو شیب استفاده شده، میزان دبی رسوب انتقالی (متوسط) در واحد عرض بسترهای دبی واحد عرض اندازه‌گیری شده است. نتایج دبی به دبی رسوب برای دو سری از دانه‌بندی با قطر ۲/۱ و ۳ میلی‌متر در شکل‌های ۸ و ۹ تنظیم شده است. در شکل ۸، با قطر ذرات متوسط ۲/۱ ملاحظه می‌شود که به ازاء یک دبی واحد، عرض معین اختلاف در میزان دبی رسوب انتقالی به شدت با افزایش شیب افزایش یافته است. هر چند که روند هر دو سری آزمایش با افزایش میزان دبی بیشینه، هیدروگراف افزایشی بوده است، اما نزد افزایش دبی رسوب در شیب‌های بیشتر بزرگ‌تر مشاهده می‌شود.

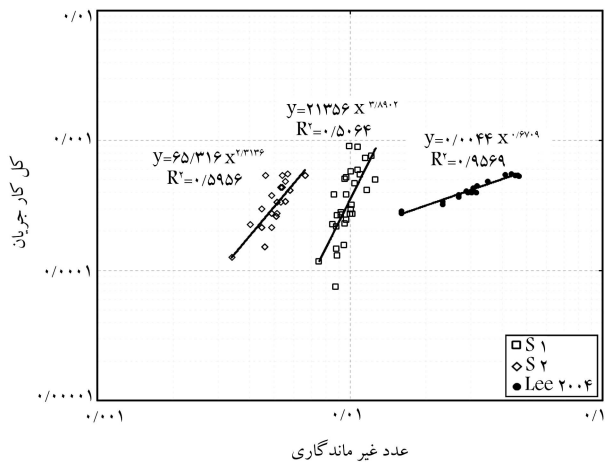
در شکل ۹، نیز مقایسه‌یی جهت دو شیب ۰/۰۶ و ۱/۰ برای دانه‌بندی با قطر ۳ میلی‌متر صورت گرفته است، که مطالعه قبلي را تأیید می‌کند. روند افزایشی



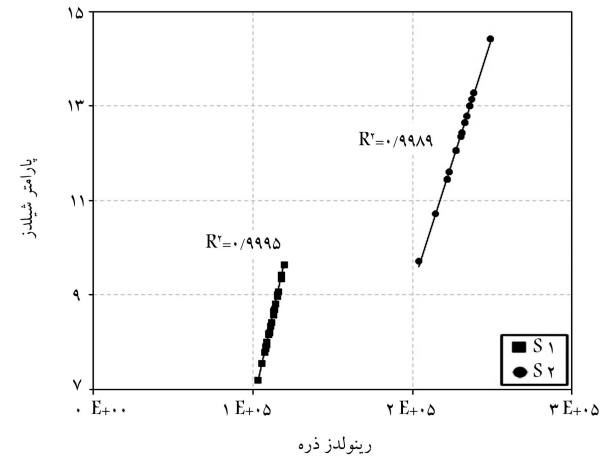
شکل ۱۳. تغییرات عدد غیرماندگاری نسبت به دبی رسوب.



شکل ۱۱. تغییرات مؤلفه‌های بی بعد فرود ذره و پارامتر وابسته.



شکل ۱۴. تغییرات عدد غیرماندگاری نسبت به کل کار جریان.



شکل ۱۲. تأثیر مؤلفه‌های بی بعد رینولدز ذره و پارامتر شیلدز.

۴.۳. تغییرات عدد غیرماندگاری (Γ)

بر اساس پژوهش‌های صورت گرفته توسط سایر پژوهشگران، پارامتر مؤثر در جریان غیرماندگار با میزان انتقال رسوب، عدد غیرماندگاری است؛ که از نسبت سرعت جریان در حال افزایش به سرعت برشی جریان پایه حاصل می‌شود. بر اساس مقدار عدد غیرماندگار، شرایط انتقال رسوب تغییر می‌کند. در شکل ۱۳، تغییرات عدد غیرماندگاری نسبت به دبی رسوبی برای دو شیب $1/6$ و $1/4$ درصد مشاهده می‌شود. با توجه به شکل اخیر، با افزایش عدد غیرماندگاری میزان رسوب انتقالی برای هر دو شیب افزایش یافته است. از طرفی چنانکه ملاحظه می‌شود تغییرات رسوبی بر حسب جریان پایه، نتایج را در دو حالت کاملاً از یکدیگر مجزا کرده است، در صورتی که در شرایط به کارگیری سرعت برشی، چنین وضعیتی وجود ندارد.

این مسئله ناشی از تفاوت ماهیت سرعت جریان پایه و سرعت برشی است. کل کار جریان صورت گرفته، تأثیر به سریعی در انتقال رسوب نسبت به پارامتر غیرماندگاری دارد.^[۲۱] در شکل ۱۴، تغییرات عدد غیرماندگاری نسبت به کل کار جریان با دانه‌بندی‌های مختلف مشاهده می‌شود، که بر اساس آن، افزایش کل کار جریان نسبت به مقدار پارامتر غیرماندگار نسبت مستقیم دارد، که با نتایج لی و همکاران و نتایج پژوهش حاضر، هماهنگی قابل قبولی را نشان می‌دهد.

قابل قبولی مشاهده می‌شود. همچنین مقایسه روند تغییرات نشان می‌دهد که اثر شیب بستر در انتقال رسوب نقش به سزاوی دارد، چنانکه شیب نتایج مطالعه‌ی حاضر^(۶) و شیب بستر مریبوط به نتایج لی و وانگ از مقدار اخیر کمتر است.

۴.۳. بررسی پارامترهای بی بعد (τ^* , Re^* , Fr^*)

بررسی همبستگی پارامتر بدون بعد وابسته (a) با گروه بدون بعد مستقل (فرود ذره) (Fr^*), نقش اندازه‌ی ذرات رسوب را در انتقال آنها بیشتر روشن می‌کند (شکل ۱۱). از این رو در شرایط مختلف آزمایشی، رابطه‌ی گروه‌های وابسته و مستقل در برابر یکدیگر ترسیم شده است. تأثیر متغیرهای اصلی، مانند: شیب، قطر ذرات و زمان پایه در روند انتقال رسوب به گونه‌یی بوده است که روند ارتباط بین گروه متغیرهای وابسته و مستقل برای اغلب حالت‌های مشابه است.

با افزایش عدد رینولدز، نقش لزجت بر جریان کاهش یافته است و لذا می‌توان از تأثیر پارامتر بدون بعد رینولدز صرف نظر کرد. در آزمایش‌های انجام شده، رابطه‌ی عدد بی بعد رینولدز برشی ذره (Re^*) با پارامتر شیلدز (τ^*) بررسی شده است، که نتایج آن در شکل ۱۲ مشاهده می‌شود. مقادیر عدد رینولدز برشی برای نتایج به دست آمده همواره بیشتر از 5×10^5 بوده است، که حاکی از جریان کاملاً آشفته است؛ لذا نقش عدد رینولدز بر جریان قابل اغماض است.

هماهنگی خوبی را نشان می‌دهد (شکل ۱۵). بر این اساس، رابطه‌ی خطی بین میزان کل کار جریان با انتقال رسوب استخراج و در جدول ۴ به آن اشاره شده است.

۴. نتیجه‌گیری

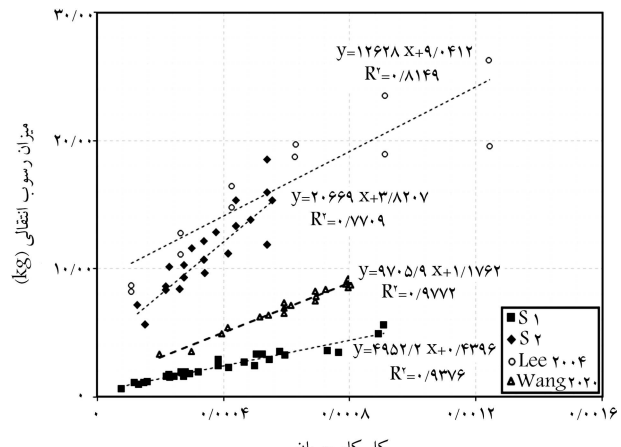
جریان در آبراهه‌های فصلی و مسیل‌ها، ویژگی‌های خاصی دارد. به همین دلیل ثبت و اندازه‌گیری پارامترهای جریان و رسوب در آبراهه‌های فصلی، اصولاً کاری مشکل و گاهی غیرممکن است. از این رو رویکرد مطالعه درخصوص آبراهه‌ی فصلی از طریق مدل‌سازی آزمایشگاهی کاری انجام پذیر است. نتایج محدود مطالعات پیشین حاکی از آن است که نقش شبیب آبراهه، اندازه‌ی ذرات رسوب‌ها، زمان و بیشینه‌ی دبی اوج سیلان، اهمیت قابل توجهی دارند. نتایج پژوهش حاضر نشان داد که نقش شبیب کانال در انتقال بارکف اهمیت زیادی دارد، به طوری که با افزایش ۲ برابر افزایش کفت از $14/0/0$ به $14/0/0$ ، کل رسوب انتقالی به پایین‌دست تقریباً ۵ برابر افزایش یافته است. همچنین نتایج نشان داد که با افزایش دبی رسوب، پارامتر غیرمانندگاری افزایش می‌باید و این پارامتر نقش مؤثر در کل کار جریان دارد. زمان پایه، که می‌تواند تأثیر سرعت افزایش دبی را نشان دهد، حاکی از آن است که به شدت در آبراهه‌ی فصلی مؤثر است؛ به طوری که هر چه زمان اوج گیری سیلان سریع‌تر باشد، امکان انتقال رسوب بیشتر است و احتمال خرابی و تخریب توسط سیلان وجود دارد.

تشکر و قدردانی

نویسنده‌گان نوشتار حاضر، از حمایت‌های علمی پژوهشکده‌ی آب و محیط زیست دانشگاه فردوسی مشهد تشکر و قدردانی می‌کنند.

پانوشت‌ها

1. dunes
2. Graf & Suszka
3. Kuhnle
4. Wang
5. Qu
6. Lee
7. Wu
8. Hu & Abrahams
9. Bombar
10. Billi
11. Zarriati
12. Maurin
13. Yang
14. Ripple Bed
15. Mrokowska
16. Mao
17. armour layer
18. Ockelford
19. Xiao



شکل ۱۵. تغییرات کل کار جریان نسبت به میزان رسوب انتقالی.

جدول ۴. معادلات رگرسیونی استخراج شده.

R^2	Equation	
۰/۹۶۸	$W_t^* = 1156/1W_K^{0.7859}$	Study-S1
۰/۹۱۵	$W_t^* = 1612/6W_K^{0.6251}$	Study-S2
۰/۹۳۱	$W_t^* = 40.8/92W_K^{0.2221}$	Lee ^{۲۰۰۴}
۰/۹۶۰	$W_t^* = 4952/2W_K^{0.7722}$	Wang ^{۲۰۲۰}

به طور کلی در هیدرولوگراف‌های با مقادیر بالا، میزان عملکرد رسوب افزایش می‌باید و ارتباط زیادی بین میزان رسوب انتقالی با کل کار جریان وجود جریان دارد، که تحلیل رگرسیون صورت گرفته برای آزمایش‌های سری اول با نتایج وانگ و همکاران (۲۰۲۰) و آزمایش‌های سری دوم با نتایج لی و همکاران (۲۰۰۴) می‌باشد.

منابع (References)

1. Khosravi, K., Chegini, A.H., Cooper, J.R. and et al. "Uniform and graded bed-load sediment transport in a degrading channel with non-equilibrium conditions", *International Journal of Sediment Research*, **35**(2), pp. 115-124 (2020).
2. Roshani, E., Hossienzade Dalir, S., Farsadizade, D. and et al. "Alluvial streams; bed forms; reducing width transitions; ripple height", *Journal of Water and Soil*, **31**(1), pp. 28-39 (2017).

3. Shafai Bajestan, M. "Basic theory and application of hydraulic sediment transport", 560, Shahid Chamran University Press (in Persian) (2009).
4. Samadi-Boroujeni, H., Maleki, P., Fattahi-Nafchi, R. and et al. "Experimental study on the effect of the parallel and flake ripple bed forms on the manning roughness coefficient", *Journal of Hydraulics*, **8**(4), pp. 55-65 (in Persian) (2013).
5. Bombar, G., Elci, S., Tayfur, G. and et al. "Experimental and numerical investigation of bed-load transport under unsteady flows", *Journal of Hydraulic Engineering*, **137**(10), pp. 1276-1282 (2011).
6. Graf, W. and Suszka, L. "Unsteady flow and its effect on sediment transport", In 21st IAHR Congress (1985).
7. Kuhnle, R.A. "Bed load transport during rising and falling stages on two small streams", *Earth Surface Processes and Landforms*, **17**(2), pp. 191-197 (1992).
8. Wang, Z., Krob, W. and Plate, E. "An experimental study of bed deformation in unsteady and non-uniform flows", *Int. J. Sediment Res.*, **9**(3), pp. 206-215 (1994).
9. Qu, Z. "Unsteady open-channel flow over a mobile bed", Ecole Polytechnique Federale de Lausanne, Lausanne, Switzerland (2002).
10. Lee, K.T., Liu, Y.L. and Cheng, K.H. "Experimental investigation of bedload transport processes under unsteady flow conditions", *Hydrological Processes*, **18**(13), pp. 2439-2454 (2004).
11. Wu, W., Vieira, D.A. and Wang, S.S. "One-dimensional numerical model for nonuniform sediment transport under unsteady flows in channel networks", *Journal of Hydraulic Engineering*, **130**(9), pp. 914-923 (2004).
12. Hu, S. and Abrahams, A.D. "The effect of bed mobility on resistance to overland flow", *Earth Surface Processes and Landforms: The Journal of the British Geomorphological Research Group*, **30**(11), pp. 1461-1470 (2005).
13. Hasan, M.A., Egozi, R. and Parker, G. "Experiments on the effect of hydrograph characteristics on vertical grain sorting in gravel bed rivers", *Water Resources Research*, **42**(9) (2006).
14. Billi, P. "Flash flood sediment transport in a steep sand-bed ephemeral stream", *International Journal of Sediment Research*, **26**(2), pp. 193-209 (2011).
15. Kaboorani, S. and Shanehsazzadeh, A. "Modeling the saltation and evaluating the parameters affecting the random movement of sediment particles in bed Load transport under steady flow", *Modares Civil Engineering Journal*, **14**(1), pp. 95-104 (2014).
16. Tabarestani, M.K. and Zarati, A. "Sediment transport during flood event: a review", *International Journal of Environmental Science and Technology*, **12**(2), pp. 775-788 (2015).
17. Maurin, R., Chauchat, J. and Frey, P. "Dense granular flow rheology in turbulent bedload transport", arXiv preprint arXiv: 06712/1602 (2016).
18. Yang, Z., Li, H., Liang, B. and et al. "Laboratory experiment on the bed load sediment transport over a rippled bed", *Journal of Coastal Research*, **75**(sp1), pp. 497-501 (2016).
19. Mrokowski, M.M., Rowinski, P.M., Ksiazek, L. and et al. "Laboratory studies on bedload transport under unsteady flow conditions", *Journal of Hydrology and Hydromechanics*, **66**(1), pp. 23-31 (2018).
20. Mao, L. "The effects of flood history on sediment transport in gravel-bed rivers", *Geomorphology*, **322**, pp. 196-205 (2018).
21. Ockelford, A., Woodcock, S. and Haynes, H. "The impact of inter-flood duration on non-cohesive sediment bed stability", *Earth Surface Processes and Landforms*, **44**(14), pp. 2861-2871 (2019).
22. Xiao, Y., Hu, J. and Yang, F. "Experimental investigation of effects of unsteady flow on bed-load transport process", *Journal of Waterway, Port, Coastal, and Ocean Engineering*, **146**(4), 06020001 (2020).
23. Duan, Z., Chen, J., Jiang, C. and et al. "Experimental study on uniform and mixed bed-load sediment transport under unsteady flow", *Applied Sciences*, **10**(6) (2020).
24. Khosravi, K., Chegini, A.H., Binns, A.D. and et al. "Difference in the bed load transport of graded and uniform sediments during floods: An experimental investigation", *Hydrology Research*, **50**(6), pp. 1645-1664 (2019).
25. Wang, L., Cuthbertson, A., Pender, G. and et al. "Bed load sediment transport and morphological evolution in a degrading uniform sediment channel under unsteady flow hydrographs", *Water Resources Research*, **55**(7), pp. 5431-5452 (2019).
26. Shahsavari, H., Panahi, G. and Khodashenas, S. "Investigation of the effect of a sudden flood wave on the transition of bed loading in dry ducts and the effect of submerged plates on reducing bed load", *Journal of Water and Soil Conservation*, **26**(3), pp. 91-107 (in Persian) (2019).
27. ASTM D. "Standard test method for particle-size analysis of soils" (2007).
28. Chanson, H. "Hydraulics of open channel flow", Elsevier (2004).
29. Julien, P.Y. "River Mechanics", Cambridge University Press (2018).
30. Suszka, L. "Sediment transport at steady and unsteady flow: a laboratory study", Lausanne, EPFL, pp.1-280 (1987)
31. Wang, L., Cuthbertson, A.J., Pender, G. and et al. "Experimental investigations of graded sediment transport under unsteady flow hydrographs", *International Journal of Sediment Research*, **30**(4), pp. 306-320 (2015).
32. Wang, L., Cuthbertson, A.J., Zhang, S.H. and et al. "Graded bed load transport in sediment supply limited channels under unsteady flow hydrographs", *Journal of Hydrology*, **595**, 126015 (2021).
33. Pender, G., Shavidchko, A.B. and Chegini, A. "Supplementary data confirming the relationship between critical shields stress, grain size and bed slope", *Earth Surface Processes and Landforms: The Journal of the British Geomorphological Research Group*, **32**(11), pp. 1605-1610 (2007).

34. Esmaili, K., Shafaei Bajestan , M. and Kashefpour, S.M. "Experimental investigation of the effective parameters on sediment transport under flash flood", *Iranian Journal of Watershed Management Science and Engineering*, **1**(2), pp. 3-10 (in Persian) (2007).
35. Alebouyeh, A., Esmaili, K. and Khodashenas, S. R. "Comparison of the effects of flow pattern and bed slope on sediment transport in laboratory conditions". *Water and Soil*, **28**(2), pp. 286-295 (In Persian) (2014).
36. Morris, G. and Fand, J. "Reservoir sedimentation", *Handbook McGraw-Hill* (1997).
37. Graf, Walter H. and Altinakar, Mustafa S. "Fluvial hydraulics: flow and transport processes in channels of simple geometry", *Chichester*, **551**, pp.1-680 (1998).
38. Hassanzadeh, Y. "Evaluation of sediment load in a natural river", *Journal of the Water International*, **32**(1), pp.145-154 (2007).